

1/9
Fisch et al.
BUR920010180US1 RMK

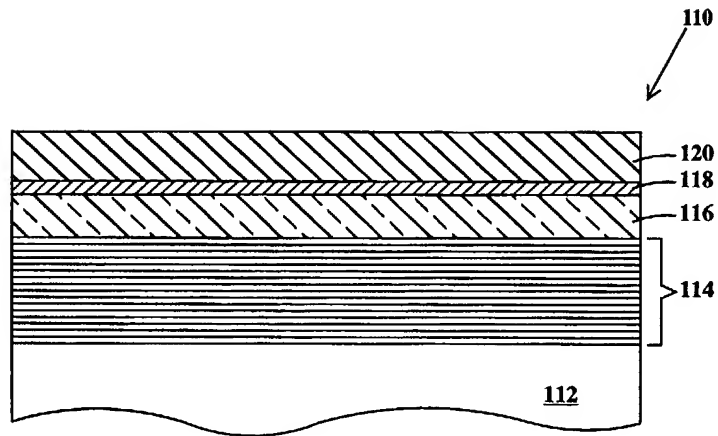


FIG. 1A

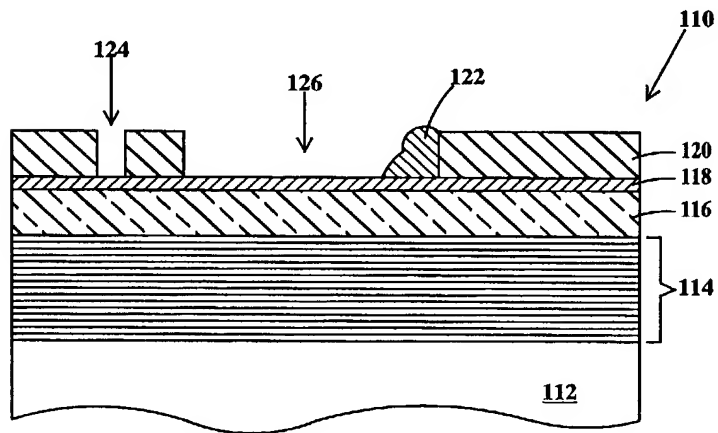


FIG. 1B



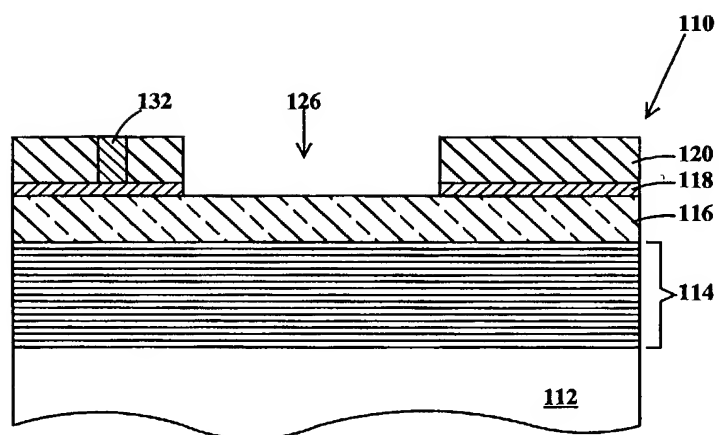


FIG. 1E

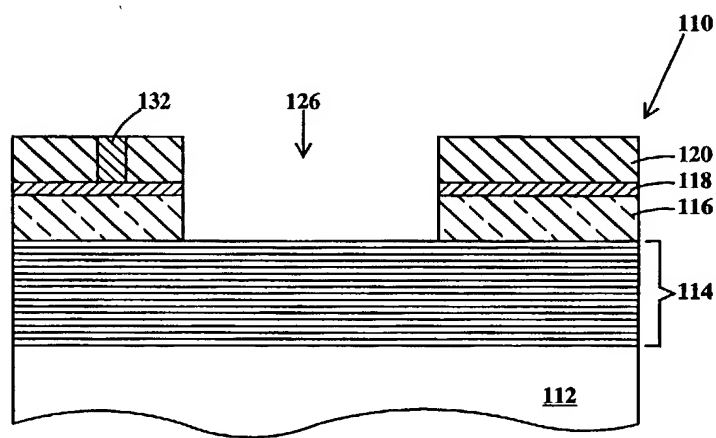


FIG. 1F

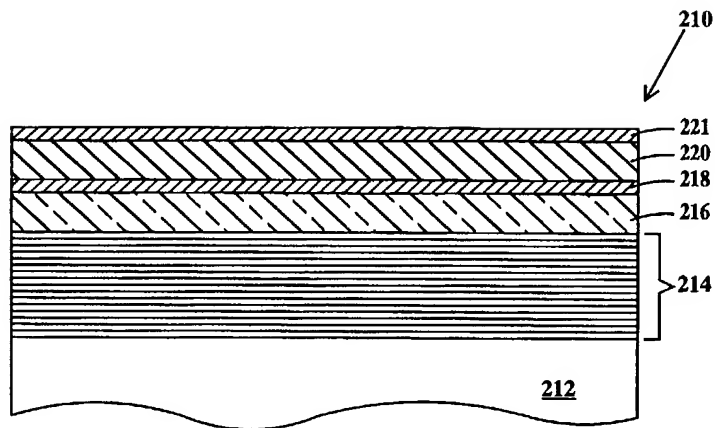


FIG. 2A

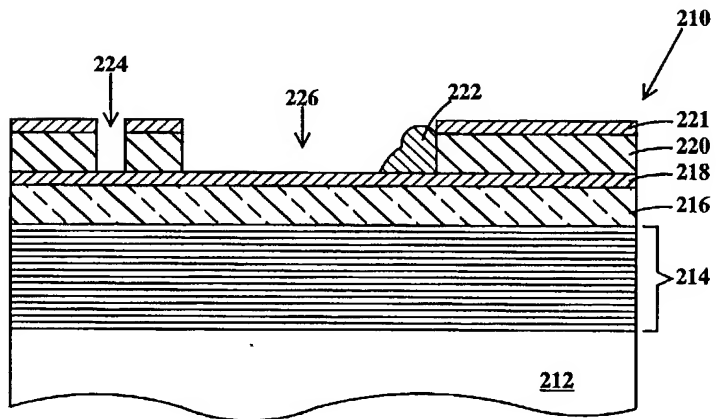


FIG. 2B

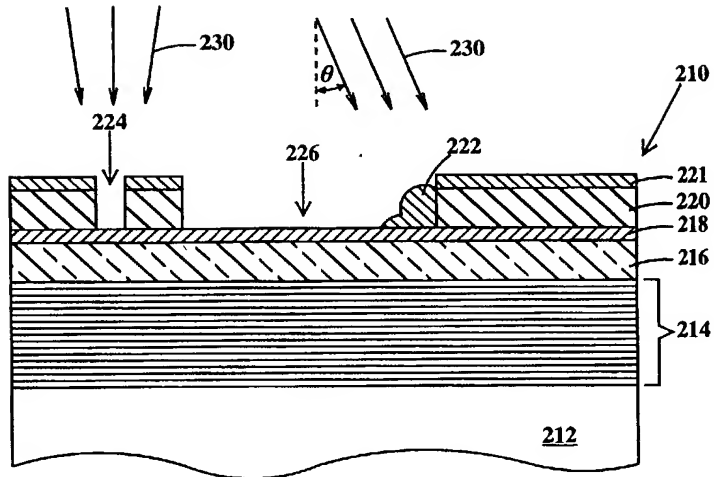


FIG. 2C

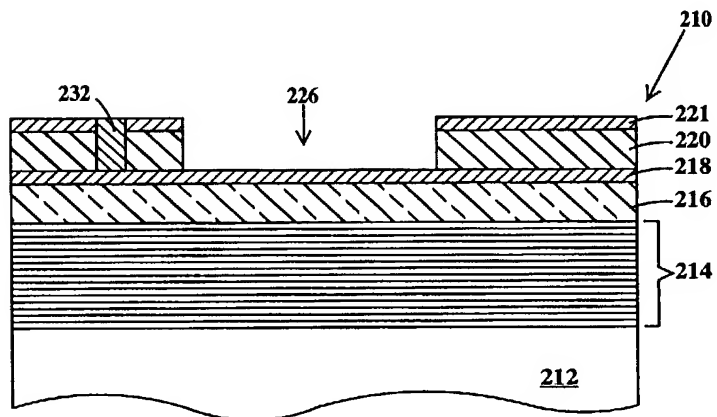


FIG. 2D

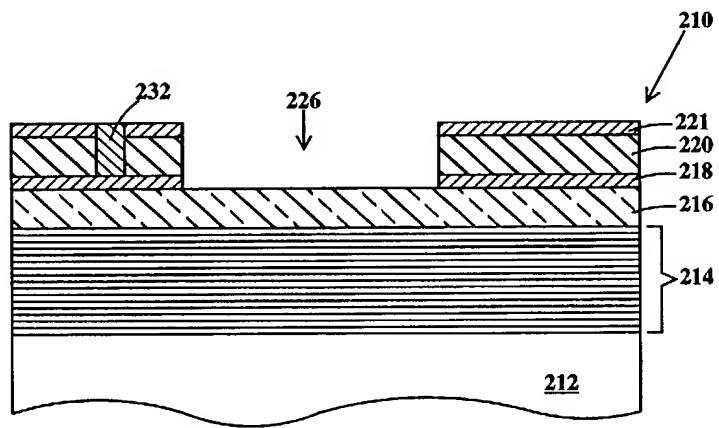


FIG. 2E

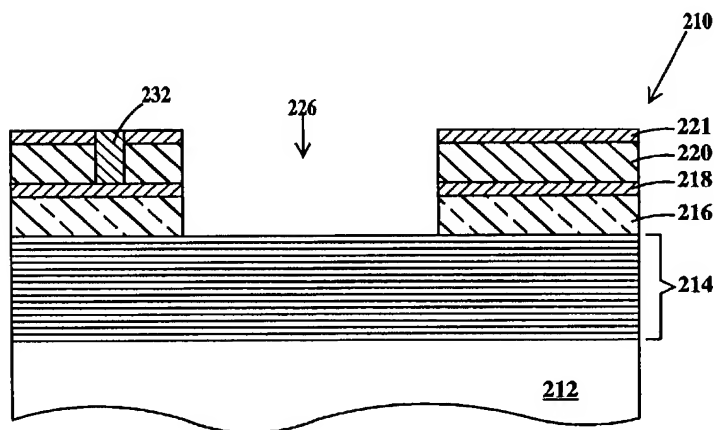


FIG. 2F

7/9
BUR920010180US1

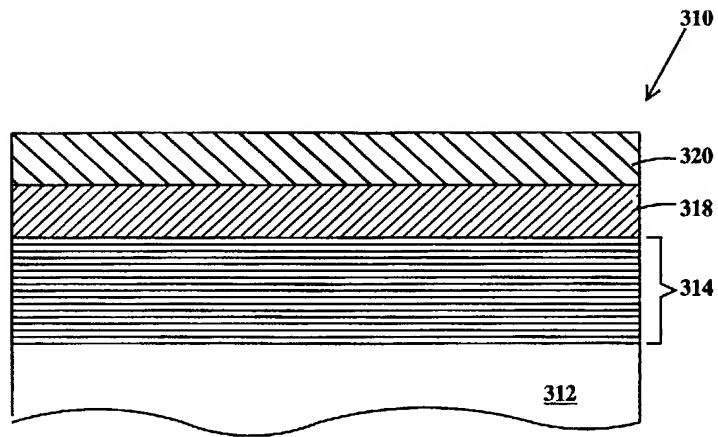


FIG. 3A

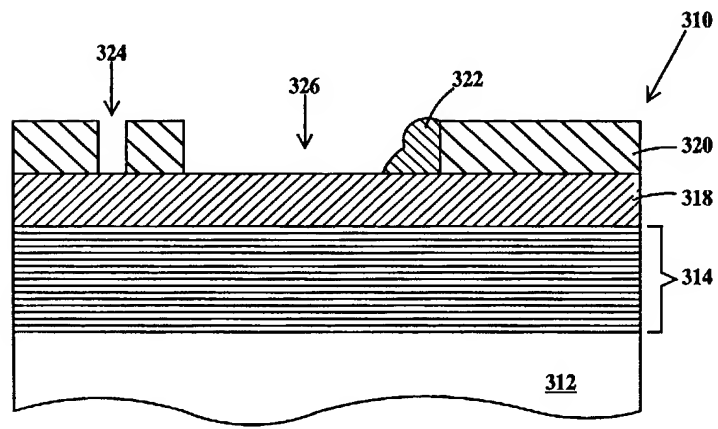


FIG. 3B

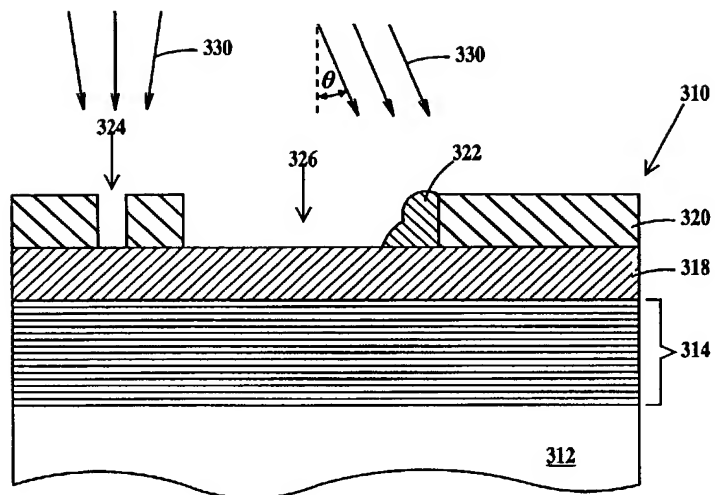


FIG. 3C

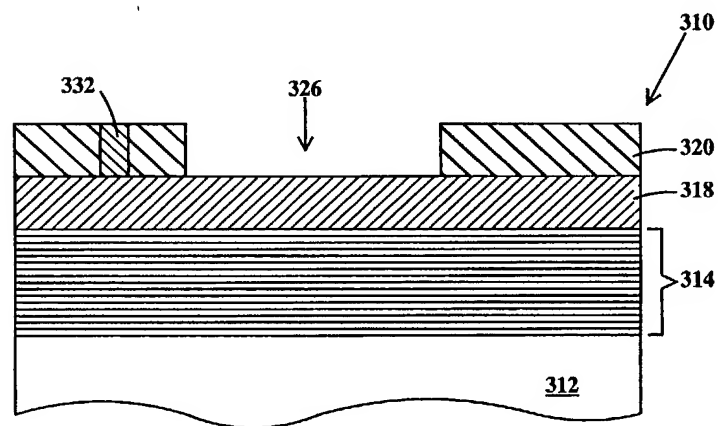


FIG. 3D

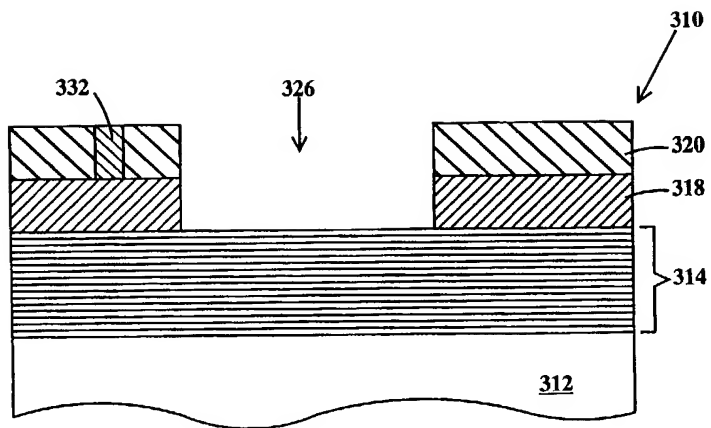


FIG. 3E